

02,05,11,12

Конденсация (псевдо)магнонов в двумерной анизотропной $S = 1$ (псевдо)спиновой системе

© Е.В. Васинович, А.С. Москвин, Ю.Д. Панов

Уральский федеральный университет,
Екатеринбург, Россия

E-mail: e.vasinovich@gmail.com

В рамках (псевдо)спинового формализма была изучена двумерная анизотропная система $S=1$ -центров типа зарядовых триплетов в системах с переменной валентностью или систем „полужестких“ бозонов с ограничением на заполнение узлов решетки $n = 0, 1, 2$. В предположении основного состояния типа квантового парамагнетика с помощью метода швингеровских бозонов найден спектр псевдоспиновых волн, а также условия конденсации псевдомагнонов с фазовым переходом в сверхпроводящее состояние.

Работа выполнена при поддержке Программы 211 Правительства Российской Федерации, соглашение № 02.A03.21.0006, и проектов № 2277 и № 5719 Министерства образования и науки Российской Федерации.

DOI: 10.21883/FTT.2018.11.46647.05NN

1. Введение

В отличие от квантовых магнетиков со спином $1/2$ системы со спином $S = 1$ характеризуются более сложным гамильтонианом с появлением одноионной анизотропии, биквадратичных межцентровых взаимодействий и принципиально новых фазовых состояний типа квантового парамагнетика. Интерес к таким системам, в частности, связан с описанием сильноанизотропных магнетиков на основе Ni^{2+} ($S = 1$). Еще в 70-е годы был изучен двумерный гейзенберговский антиферромагнетик K_2NiF_4 [1]. В 80-е годы был проведен ряд работ по квазиодномерным системам, включая $CsNiCl_3$ [2], который имеет слабую анизотропию вдоль одной оси, $CsFeBr_3$ [3], который обладает сильной плоскостной анизотропией. Различные системы на основе ионов Ni^{2+} , например, $[Ni(HF_2)(3-Clpy)_4]BF_4$ [4,5] и $NiCl_24SC(NH_2)_2$ [6], активно изучаются по сей день.

Помимо сильноанизотропных магнетиков, интерес к $S=1$ -системам связан и с так называемыми псевдоспиновыми системами типа „полужестких“ (semi-hard-core) бозонов с ограничением на заполнение узлов решетки $n = 0, 1, 2$, или системами ионов со смешанной валентностью типа „триплета“ $Cu^{1+.2+.3+}$ в купратах $La_{2-x}Sr_xCuO_4$, $Bi^{3+.4+.5+}$ в висмутатах [7,8,9,10].

Использование теоретических методов, хорошо зарекомендовавших себя при изучении квантовых магнетиков со спином $1/2$, таких как методы точной диагонализации [11,12], разложение в ряд [13], ренорм-группы [14], функции Грина [15], для систем со спином $S = 1$ сталкивается, прежде всего, с существенно более сложным гамильтонианом с появлением одноионной анизотропии, биквадратичных межцентровых взаимодействий и новыми фазовыми состояниями. Достаточно эффективным в описании $S=1$ -систем представляется метод швингеровских бозонов [16], который был впервые реализован для двумерного антиферромагнетика со спином $S = 1$ в работе [17], но для простейшего

гамильтониана. В данной работе этот метод развит нами для более сложных псевдоспиновых систем с учетом эффектов биквадратичной двухцентровой анизотропии.

2. Модель зарядовых триплетов: псевдоспиновый формализм

Мы ограничимся рассмотрением модельных 2D-псевдоспиновых систем типа „полужестких“ бозонов с ограничением на заполнение узлов решетки $n = 0, 1, 2$, или систем ионов со смешанной валентностью типа „триплета“ $Cu^{1+.2+.3+}$ в купратах или $Bi^{3+.4+.5+}$ в висмутатах [7,8,9,10], связывая зарядовый триплет с тремя состояниями псевдоспина $S = 1$ и используя известные методы описания спиновых систем. Так, упрощенная модель зарядовых триплетов в квазидвумерных купратах предполагает полное пренебрежение спиновыми и орбитальными степенями свободы. Три зарядовых состояния кластеров CuO_4 в CuO_2 -плоскостях, номинально соответствующих Cu^{2+} , Cu^{3+} , Cu^{1+} , мы сопоставляем с тремя проекциями псевдоспина $S = 1$ с $M_S = 0, +1, -1$ соответственно.

Спиновая алгебра $S = 1$ ($M_S = 0, \pm 1$) включает восемь независимых нетривиальных операторов (три дипольных и пять квадрупольных)

$$S_z; S_{\pm} = \mp \frac{1}{\sqrt{2}} (S_x \pm iS_y); S_z^2; T_{\pm} = \{S_z, S_{\pm}\}; S_{\pm}^2.$$

Операторы повышения/понижения S_{\pm} и T_{\pm} меняют проекцию псевдоспина на ± 1 , но различным образом: $\langle 0|S_{\pm}|\mp 1\rangle = \langle \pm 1|S_{\pm}|0\rangle = \mp 1$, $\langle 0|T_{\pm}|\mp 1\rangle = -\langle \pm 1|T_{\pm}|0\rangle = +1$. Вместо этих операторов удобно использовать комбинированные операторы $P_{\pm} = \frac{1}{2}(S_{\pm} + T_{\pm})$ и $N_{\pm} = \frac{1}{2}(S_{\pm} - T_{\pm})$, которые соответственно описывают переходы $|0\rangle \leftrightarrow | + 1\rangle$ и $|0\rangle \leftrightarrow | - 1\rangle$. Операторы повышения/понижения S_{\pm}^2 описывают переходы $| - 1\rangle \leftrightarrow | + 1\rangle$. Локальный (узельный) недиагональный параметр порядка $\langle S_{\pm}^2 \rangle$ отличен от нуля только

если на узле имеется суперпозиция состояний $|+1\rangle$ и $|-1\rangle$.

Псевдоспиновый формализм позволяет в наиболее общем виде описать эффекты переноса, а также эффекты локальных и нелокальных корреляций в системе зарядовых триплетов [7]. Запишем эффективный гамильтониан, который коммутирует с Z -компонентой полного псевдоспина $\sum_i S_{iz}$ и, таким образом, сохраняет полный заряд системы, как сумму потенциальной и кинетической энергий

$$H = H_{\text{pot}} + H_{\text{kin}}^{(1)} + H_{\text{kin}}^{(2)}, \quad (2)$$

$$H_{\text{pot}} = \sum_i (\Delta S_{iz}^2 - \mu S_{iz}) + \frac{1}{2} V \sum_{\langle ij \rangle} S_{iz} S_{jz}, \quad (3)$$

$$H_{\text{kin}}^{(1)} = \frac{1}{2} \sum_{\langle ij \rangle} \left[t^p P_{i+} P_{j-} + t^n N_{i+} N_{j-} + \frac{1}{2} t^{pn} (P_{i+} N_{j-} + N_{i+} P_{j-}) + \text{h.c.} \right], \quad (4)$$

$$H_{\text{kin}}^{(2)} = -\frac{1}{2} t^b \sum_{\langle ij \rangle} (S_{i+}^2 S_{j-}^2 + S_{i-}^2 S_{j+}^2). \quad (5)$$

За исключением некоторых слагаемых, инвариантных относительно обращения времени в (4), этот гамильтониан представляет один из наиболее общих анизотропных $S=1$ спин-гамильтонианов. Первое слагаемое в (3), или „одноионная анизотропия“, описывает корреляционные эффекты плотность-плотность на узлах. Второе слагаемое может быть связано с псевдомагнитным полем вдоль Z -оси, либо с химическим потенциалом относительно добавления новых частиц. Последний член описывает межузельные взаимодействия (корреляции) типа плотность-плотность. Гамильтониан (4) (XY-анизотропия) описывает одночастичный перенос в системе; транспорт РР-типа отвечает за переходы вида $|0\rangle + |+1\rangle \leftrightarrow |+1\rangle + |0\rangle$, NN-типа отвечает за $|0\rangle + |-1\rangle \leftrightarrow |-1\rangle + |0\rangle$, а PN-типа реализует $|0\rangle + |0\rangle \leftrightarrow |\pm\rangle + |\mp\rangle$. Гамильтониан (5) (биквадратичная двухцентровая анизотропия) описывает двухчастичный перенос.

В зависимости от соотношения между параметрами гамильтониана (2) и величины полного заряда основное состояние системы соответствует либо однородной непроводящей фазе типа квантового парамагнетика с $\langle S_z \rangle = \langle S_z^2 \rangle = 0$, реализуемой при больших положительных значениях корреляционного параметра Δ , либо непроводящей фазе зарядового упорядочения (CO) — аналогу антиферромагнитного упорядочения вдоль Z -оси, либо вариантам сверхпроводящих XY-(SF, superfluid) фаз с отличными от нуля параметрами порядка типа $\langle S_{\pm} \rangle$ и/или $\langle S_{\pm}^2 \rangle$, сопровождаемых однородным ферро-упорядочением, или неоднородным антиферро-упорядочением (supersolid phase) Z -компонент псевдоспина.

Наряду с температурными фазовыми переходами, гамильтониан (2) представляет большие возможности

исследования квантовых фазовых переходов, связанных, в частности, с изменением корреляционного параметра Δ (одноионной анизотропии) [17,18,19,20,21].

Псевдоспин-гамильтониан (2) имеет универсальный вид для систем любой размерности. Ниже мы остановимся на анализе элементарных возбуждений псевдоспиновой $S=1$ -системы — псевдомагнонов на квадратной решетке в предположении основного состояния типа квантового парамагнетика. Практический интерес к такой задаче связан с проблемой индуцирования высокотемпературной сверхпроводимости в родительских купратах, основное состояние которых соответствует валентности меди Cu^{2+} , что в рамках псевдоспинового формализма как раз соответствует состоянию квантового парамагнетика с $\langle S_z \rangle = \langle S_z^2 \rangle = 0$.

3. Представление швингеровских бозонов

Для анализа $S=1$ -псевдоспиновой системы нами использовалось представление швингеровских бозонов в среднем поле [16,17]. В этом методе трем проекциям псевдоспина $S=1$ сопоставляются три бозе-оператора рождения/уничтожения квазичастиц над вакуумом

$$|1\rangle = b_+^\dagger |v\rangle, \quad |0\rangle = b_0^\dagger |v\rangle, \quad |-1\rangle = b_-^\dagger |v\rangle, \quad (6)$$

при выполнении условия

$$b_+^\dagger b_+ + b_0^\dagger b_0 + b_-^\dagger b_- = 1. \quad (7)$$

Заменяя спиновые операторы в (2) на бозонные

$$\begin{aligned} P_+ &= -b_+^\dagger b_0, & P_- &= -P_+^\dagger = b_0^\dagger b_+, \\ N_+ &= -b_0^\dagger b_-, & N_- &= -N_+^\dagger = b_-^\dagger b_0, \\ S_z &= b_+^\dagger b_+ - b_-^\dagger b_-, & S_z^2 &= b_+^\dagger b_+ + b_-^\dagger b_-, \\ S_+^2 &= b_+^\dagger b_-, & S_-^2 &= (S_+^2)^\dagger = b_-^\dagger b_+, \end{aligned} \quad (8)$$

мы получим гамильтониан следующего вида

$$\begin{aligned} H_{\text{pot}} &= \Delta \sum_i (b_{i+}^\dagger b_{i+} + b_{i-}^\dagger b_{i-}) - \mu \sum_i (b_{i+}^\dagger b_{i+} - b_{i-}^\dagger b_{i-}) \\ &+ \frac{V}{2} \sum_{\langle ij \rangle} (b_{i+}^\dagger b_{i+} - b_{i-}^\dagger b_{i-}) (b_{j+}^\dagger b_{j+} - b_{j-}^\dagger b_{j-}) \\ &- v \sum_i (b_{i+}^\dagger b_{i+} + b_{i-}^\dagger b_{i-} + b_0^2 - 1), \\ H_{\text{kin}}^{(1)} &= -\frac{b_0^2}{2} \sum_{\langle ij \rangle} \left[t^p b_{i+}^\dagger b_{j+} + t^n b_{i-}^\dagger b_{j-} \right. \\ &\left. + \frac{1}{2} t^{pn} (b_{i+}^\dagger b_{j-} + b_{i-}^\dagger b_{j+}) + \text{h.c.} \right], \\ H_{\text{kin}}^{(2)} &= -\frac{t^b}{2} \sum_{\langle ij \rangle} (b_{i+}^\dagger b_{i-} b_{j-}^\dagger b_{j+} + b_{i-}^\dagger b_{i+} b_{j+}^\dagger b_{j-}), \end{aligned} \quad (9)$$

где учтено основное (вакуумное) состояние квантового парамагнетика, соответствующее конденсату бозонов b_0 ,

то есть $\langle b_0 \rangle = \langle b_0^\dagger \rangle = b_0$. Введенный параметр ν обеспечивает выполнение ограничения (7).

Квадратичные слагаемые в гамильтониане линеаризуются в среднем поле следующим образом:

$$\begin{aligned} & b_{i+}^\dagger b_{i-} b_{j+}^\dagger b_{j+} + b_{i-}^\dagger b_{i+} b_{j+}^\dagger b_{j-} = q(b_{i+}^\dagger b_{i-} + b_{j+}^\dagger b_{j-} + \text{h.c.}) \\ & - 2q^2, (b_{i+}^\dagger b_{i+} - b_{i-}^\dagger b_{i-})(b_{j+}^\dagger b_{j+} - b_{j-}^\dagger b_{j-}) \\ & = \frac{1}{2}(1 - b_0^2 + m)(b_{i+}^\dagger b_{i+} + b_{j+}^\dagger b_{j+}) \\ & + \frac{1}{2}(1 - b_0^2 - m)(b_{i-}^\dagger b_{i-} + b_{j-}^\dagger b_{j-}) \\ & - p(b_{i+} b_{j-} + b_{i-} b_{j+} + \text{h.c.}) + 2p^2 - \frac{1}{2}(1 - b_0^2)^2 - \frac{1}{2}m^2, \end{aligned} \quad (10)$$

где $q = \langle b_{i-}^\dagger b_{i+} \rangle = \langle b_{i+}^\dagger b_{i-} \rangle$, $p = \langle b_{i+}^\dagger b_{j-} \rangle = \langle b_{i-}^\dagger b_{j+} \rangle$, $m = \langle b_{i+}^\dagger b_{i+} \rangle - \langle b_{i-}^\dagger b_{i-} \rangle$. Подчеркнем, что условие (7) также учитывается в приближении среднего поля.

Перейдя в \mathbf{k} -пространство и выполнив преобразование Боголюбова, получим диагонализированный гамильтониан

$$H = \sum_{\mathbf{k}\alpha} \Omega_{\mathbf{k}\alpha} B_{\mathbf{k}\alpha}^\dagger B_{\mathbf{k}\alpha} + \frac{1}{2} \sum_{\mathbf{k}\alpha} (\Omega_{\mathbf{k}\alpha} - \Lambda_{\mathbf{k}}) + NC, \quad (11)$$

где введены следующие обозначения:

$$\Omega_{\mathbf{k}\alpha} = \sqrt{\omega_{\mathbf{k}}^2 + \lambda_{\mathbf{k}}^2 + \tau^2 + 2\chi_{\mathbf{k}\alpha}}, \quad \alpha = \pm, \quad (12)$$

$$\omega_{\mathbf{k}} = \sqrt{\Lambda_{\mathbf{k}}^2 - D_{\mathbf{k}}^2}, \quad \chi_{\mathbf{k}\pm} = \pm \sqrt{\omega_{\mathbf{k}}^2 \lambda_{\mathbf{k}}^2 + \Lambda_{\mathbf{k}}^2 \tau^2},$$

$$\Lambda_{\mathbf{k}} = -\nu + \Delta + \frac{1}{2} ZV(1 - b_0^2) - Zt^m b_0^2 \gamma_{\mathbf{k}},$$

$$\lambda_{\mathbf{k}} = \mu - \frac{1}{2} ZVm + Zt^l b_0^2 \gamma_{\mathbf{k}},$$

$$D_{\mathbf{k}} = -\left(\frac{t^m b_0^2}{2} + Vp\right) Z\gamma_{\mathbf{k}}, \quad \tau = -Zt^b q,$$

$$C = \nu(1 - b_0^2) - \frac{1}{4} ZV(1 - b_0^2)^2 - \frac{1}{4} ZVm^2 + ZVp^2 + Zt^b q^2,$$

$$\gamma_{\mathbf{k}} = \frac{1}{Z} \sum_{\mathbf{r}} e^{i\mathbf{k}\mathbf{r}}, \quad t^m = \frac{t^p + t^n}{2}, \quad t^l = \frac{t^p - t^n}{2}.$$

Дополнительные среднеполевые параметры b_0 , ν , q , p , m определяются из условия минимума свободной энергии $F = Ne_0 - \frac{1}{\beta} \sum_{\mathbf{k}} \ln[1 + n(\Omega_{\mathbf{k}-})] - \frac{1}{\beta} \sum_{\mathbf{k}} \ln[1 + n(\Omega_{\mathbf{k}+})]$, где $e_0 = \frac{1}{2N} \sum_{\mathbf{k}\alpha} (\Omega_{\mathbf{k}\alpha} - \Lambda_{\mathbf{k}}) + C$, $n(\Omega_{\mathbf{k}\alpha}) = 1/(\exp \beta \Omega_{\mathbf{k}\alpha} - 1)$. После минимизации, мы получим следующую систему самосогласованных уравнений:

$$2 - b_0^2 = \frac{1}{N} \sum_{\mathbf{k}\alpha} \Lambda_{\mathbf{k}} \left(1 + \frac{\lambda_{\mathbf{k}}^2 + \tau^2}{\chi_{\mathbf{k}\alpha}}\right) \frac{n(\Omega_{\mathbf{k}\alpha}) + \frac{1}{2}}{\Omega_{\mathbf{k}\alpha}},$$

$$\begin{aligned} \nu &= \frac{Z}{N} \sum_{\mathbf{k}\alpha} \gamma_{\mathbf{k}} \left[\frac{t^m}{2} D_{\mathbf{k}} - t^m \Lambda_{\mathbf{k}} + t^l \lambda_{\mathbf{k}} \right. \\ & \left. + \frac{(\frac{t^m}{2} D_{\mathbf{k}} - t^m \Lambda_{\mathbf{k}}) \lambda_{\mathbf{k}}^2 + t^l \omega_{\mathbf{k}}^2 \lambda_{\mathbf{k}} - t^m \tau^2 \Lambda_{\mathbf{k}}}{\chi_{\mathbf{k}\alpha}} \right] \frac{n(\Omega_{\mathbf{k}\alpha}) + \frac{1}{2}}{\Omega_{\mathbf{k}\alpha}}, \end{aligned}$$

$$q = \frac{1}{2N} \sum_{\mathbf{k}\alpha} \tau \left(1 + \frac{\Lambda_{\mathbf{k}}^2}{\chi_{\mathbf{k}\alpha}}\right) \frac{n(\Omega_{\mathbf{k}\alpha}) + \frac{1}{2}}{\Omega_{\mathbf{k}\alpha}},$$

$$p = -\frac{1}{2N} \sum_{\mathbf{k}\alpha} D_{\mathbf{k}} \gamma_{\mathbf{k}} \left(1 + \frac{\lambda_{\mathbf{k}}^2}{\chi_{\mathbf{k}\alpha}}\right) \frac{n(\Omega_{\mathbf{k}\alpha}) + \frac{1}{2}}{\Omega_{\mathbf{k}\alpha}},$$

$$m = -\frac{1}{N} \sum_{\mathbf{k}\alpha} \lambda_{\mathbf{k}} \left(1 + \frac{\omega_{\mathbf{k}}^2}{\chi_{\mathbf{k}\alpha}}\right) \frac{n(\Omega_{\mathbf{k}\alpha}) + \frac{1}{2}}{\Omega_{\mathbf{k}\alpha}}.$$

4. Результаты

В результате численного решения уравнений (13) были найдены дисперсионные зависимости энергии псевдомагнонов, а также зависимости критических температур T_c , при которых щель в спектре (псевдо)магнонов $\Omega_{\mathbf{k}}$ обращается в ноль, от псевдомагнитного поля h (рис. 1–4). Зависимости $T_c(h)$ представляют собой фактически фазовые $T - h$ диаграммы.

На рис. 1 представлена фазовая $T_c - h$ диаграмма при различных значениях интеграла двухчастичного переноса (параметра биквадратичной двухцентровой анизотропии) t^b , при $\Delta = 8$, $V = t^p = t^n = t^{pn} = 1$. С увеличением псевдомагнитного поля h при постоянной температуре T щель в спектре возбуждений исчезает при $h = h_{c1}$ и часть бозонов (псевдомагнонов) конденсируется, либо в точке $\mathbf{k} = (0, 0)$, либо в $\mathbf{k} = (\pi, \pi)$, в зависимости от знака параметра одночастичного переноса t^p (параметр XY-анизотропии). Одновременно с этим, при $h > h_{c1}$ возникает „псевдономагнитичность“, как вдоль направления поля m_z , так и в XY-плоскости m_x , которую можно определить через структурный фактор:

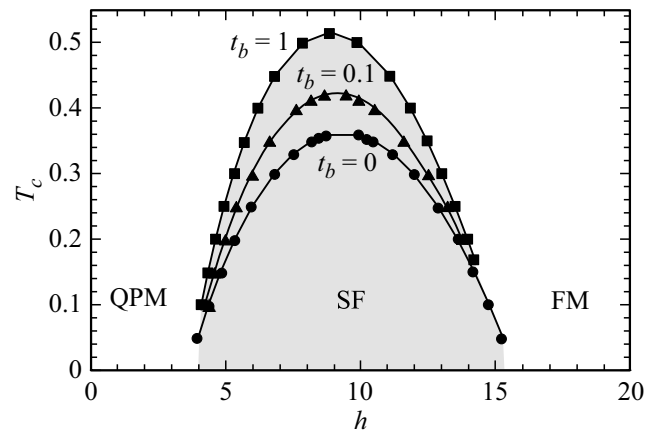


Рис. 1. Фазовая диаграмма $T_c - h$ при различных величинах интеграла двухчастичного переноса t^b ($\Delta = 8$, $V = t^p = t^n = t^{pn} = 1$).

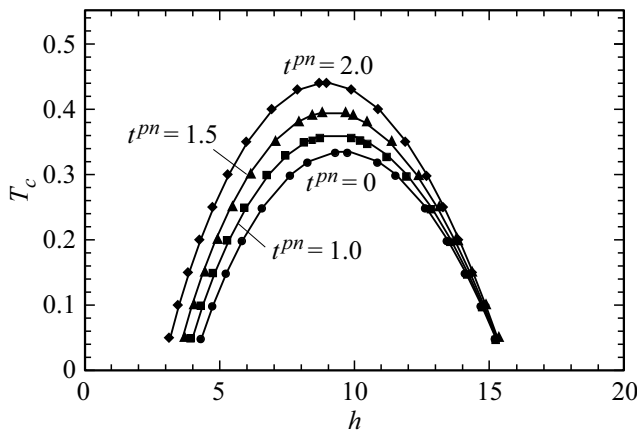


Рис. 2. Фазовая диаграмма $T_c - h$ при различных величинах интеграла одночастичного переноса t^{pn} ($\Delta = 8$, $V = t^p = t^n = 1$, $t^b = 0$).

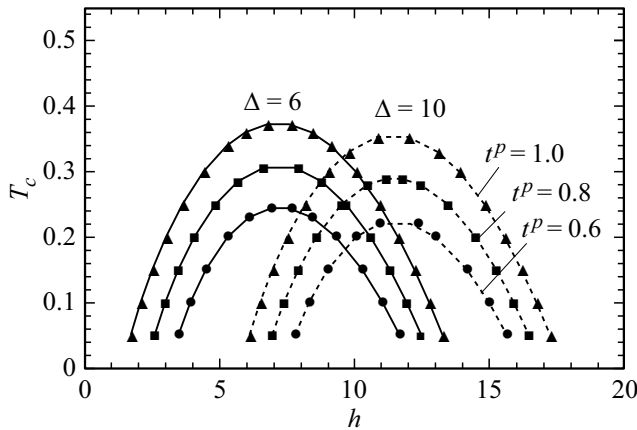


Рис. 3. Фазовая диаграмма $T_c - h$ при различных величинах интеграла одночастичного переноса t^p и параметра одноцентровых корреляций Δ ($V = t^p = t^n = 1$, $t^b = 0$).

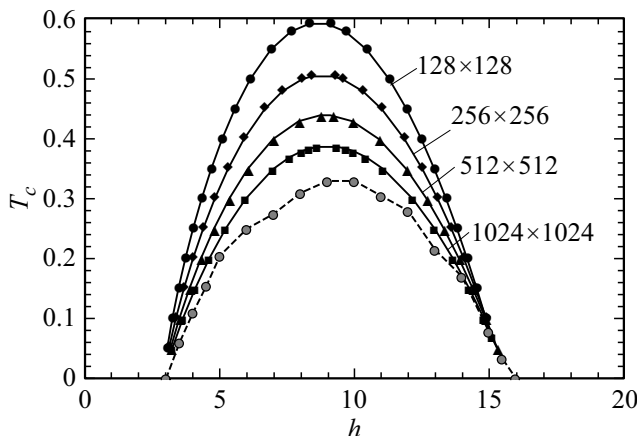


Рис. 4. Влияние размера решетки на фазовую диаграмму $T_c - h$ ($\Delta = 8$, $V = t^p = t^n = 1$, $t^{pn} = 2$, $t^b = 0$) и сравнение результатов с работой [17] (штриховая линия).

$Nm_x^2 = s(\pi) = \sum_r (-1)^r \langle S_{0x} S_{rx} \rangle$. При достижении следующего критического поля h_{c2} , намагниченность в XY-плоскости исчезает и отличной от нуля остается только компонента псевдоспинов вдоль Z-оси. Таким образом, рис. 1 фактически иллюстрирует зависимость температуры фазового перехода квантовый парамагнетик — сверхпроводящая XY-, или SF-фаза с отличными от нуля параметрами порядка типа $\langle S_{\pm} \rangle$ и/или $\langle S_{\pm}^2 \rangle$, сопровождаемая однородным ферро-упорядочением псевдоспинов вдоль Z-оси, от поля h . Температура фазового перехода растет с ростом интеграла двухчастичного переноса t^b , однако при низких температурах изменение t^b практически не сказывается на величине критических полей.

На рис. 2 представлена фазовая $T_c - h$ диаграмма при различных значениях интеграла одночастичного переноса t^{pn} , инициирующего переходы $|0\rangle + |0\rangle \leftrightarrow |-1\rangle + |1\rangle$, при $\Delta = 8$, $V = t^p = t^n = 1$, $t^b = 0$. Аналогично влиянию интеграла t^b , критическая температура T_c растет с ростом t^{pn} , однако обратим внимание на заметный при этом эффект смещения поля h_{c1} в область малых полей и отсутствие заметного влияния на величину h_{c2} , особенно в области низких температур.

Как показано на рис. 3, параметр одночастичного переноса t^p , отвечающий за переходы $|0\rangle + |1\rangle \leftrightarrow |1\rangle + |0\rangle$, играет ведущую роль в определении величин критических температур. На этом же рисунке представлены фазовые $T_c - h$ диаграммы при двух различных значениях параметра одноцентровых корреляций. Очевидно, что рост параметра Δ приводит к смещению фазовых диаграмм в область больших полей псевдомагнитных полей.

Фазовые диаграммы, представленные на рис. 1–3, получены в результате численных расчетов на квадратной решетке с размером 512×512 со свободными границами. Влияние размера решеток показано на рис. 4 для значения параметров упрощенного гамильтониана, принятых в работе [17]. Для сравнения штриховой линией приведены результаты непрерывного предела работы [17]. Существенная роль размера решетки связана с особенностями определения точки фазового перехода как точки обращения в нуль щели в спектре псевдомагнонов, точность определения которой зависит от выбранного размера решетки.

5. Заключение

В рамках (псевдо)спинового формализма была изучена двумерная анизотропная система $S=1$ -центров типа зарядовых триплетов в системах с переменной валентностью или систем „полужестких“ бозонов с ограничением на заполнение узлов решетки $n = 0, 1, 2$. Используя представление швингеровских бозонов, нами были найдены условия, при которых система переходит в сверхпроводящее состояние. Установлено, что определяющую роль в формировании данной фазы играет одночастичный перенос PP-типа, тогда как транспорт PN-типа

способствует образованию фазы в области меньших полей, а двухчастичный перенос повышает температуру фазового перехода.

Список литературы

- [1] R.J. Birgeneau, J. Skalyo Jr., G. Shirane. *J. Appl. Phys.* **41**, 1303 (1970).
- [2] M. Steiner, K. Kakurai, J.K. Kjems, D. Petitgrand, R. Pynn. *J. Appl. Phys.* **61**, 3953 (1987).
- [3] B. Dorner, D. Visser, U. Steigenberger, K. Kakurai, M. Steiner. *Z. Phys. B: Condens. Matter* **72**, 487 (1988).
- [4] J.L. Manson, A.G. Baldwin, B.L. Scott, J. Bendix, R.E. Del Sesto, P.A. Goddard, Y. Kohama, H.E. Tran, S. Ghannadzadeh, J. Singleton, T. Lancaster, J.S. Moller, S.J. Blundell, F.L. Pratt, V.S. Zapf, J. Kang, C. Lee, M.-H. Whangbo, C. Baines. *Inorg. Chem.* **51**, 7520 (2012).
- [5] K. Wierschem, P. Sengupta. *Mod. Phys. Lett. B* **28**, 1430017 (2014).
- [6] A. Paduan-Filho, X. Gratens, N.F. Oliveira. *Phys. Rev. B* **69**, 020405 (2004).
- [7] A.S. Moskvina. *JETP* **121**, 477 (2015).
- [8] A.S. Moskvina. *Phys. Rev. B* **84**, 075116 (2011).
- [9] A.S. Moskvina. *J. Phys.: Condens. Matter* **25**, 085601 (2013).
- [10] A.S. Moskvina. *J. Phys.: Conf. Ser.* **592**, 012076 (2015).
- [11] E. Dagotto, A. Moreo. *Phys. Rev. Lett.* **63**, 2148 (1989).
- [12] J. Richter, J. Schulenburg. *Eur. Phys. J. B* **73**, 117 (2010).
- [13] R.R.P. Singh, W. Zheng, J. Oitmaa, O.P. Sushkov, C.J. Hamer. *Phys. Rev. Lett.* **91**, 017201 (2003).
- [14] J. Reuther, P. Wölfle. *Phys. Rev. B* **81**, 144410 (2010).
- [15] L. Siurakshina, D. Ihle, R. Hayn. *Phys. Rev. B* **64**, 104406 (2001).
- [16] S. Sachdev, R.N. Bhatt. *Phys. Rev. B* **41**, 9323 (1990).
- [17] H.T. Wang, Y. Wang. *Phys. Rev. B* **71**, 104429 (2005).
- [18] H. Chen, L. Yu, Z. Su. *Phys. Rev. B* **48**, 12692 (1993).
- [19] H. Wangand, J.S.K. Li, Z. Su. *Phys. Rev. B* **59**, 12805 (1994).
- [20] H. Xingand, G. Su, S. Gao, J. Chu. *Phys. Rev. B* **66**, 054419 (2002).
- [21] A.S.T. Pires, L.S. Lima, M.E. Gouvea. *J. Phys. Condens. Matter* **20**, 015208 (2008).

Редактор Т.Н. Василевская